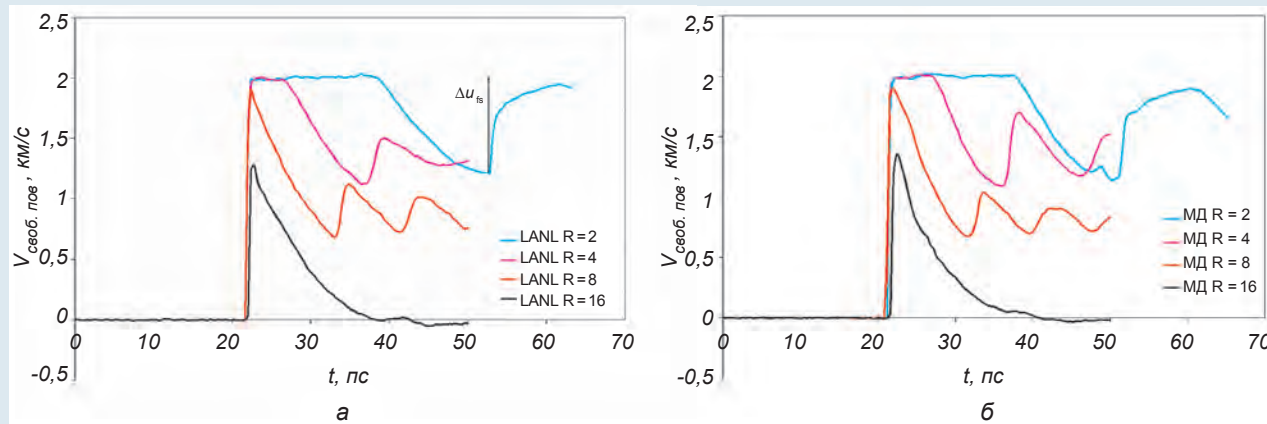
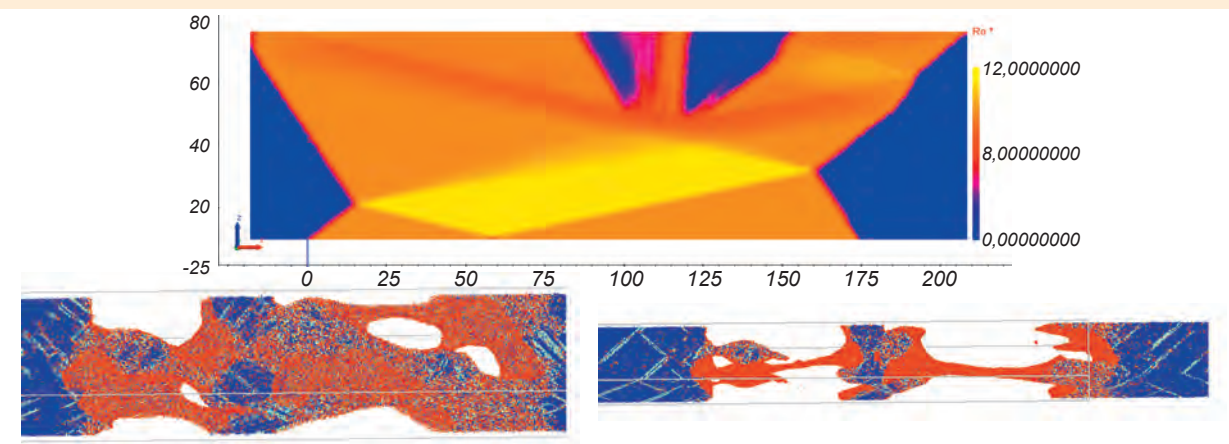


В рамках развития методов и программ молекулярно-динамического моделирования проведены расчеты откольных явлений в монокристалле меди

при различных ударно-волновых нагрузках. Результаты расчетов сравнивались с аналогичными результатами, полученными в Лос-Аламосской лаборатории (США). За исключением отдельных моментов получено хорошее согласие.



Сравнительные графики поведения во времени скорости свободной поверхности:
а – результаты ЛАНЛ; б – результаты МД



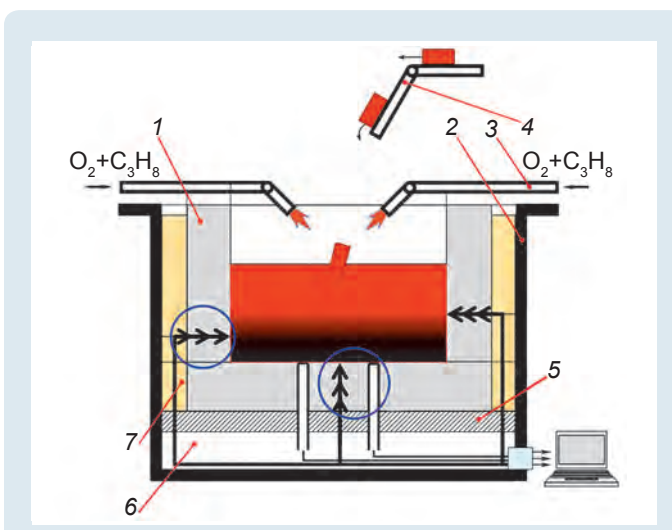
Процесс развития откола и визуализация частиц

ИНСТИТУТ ЭКСПЕРИМЕНТАЛЬНОЙ ГАЗОДИНАМИКИ И ФИЗИКИ ВЗРЫВА (ИФВ)

В ИФВ в целях исследования и обеспечения безопасности ядерных реакторов разработана установка для получения и удержания кориума – расплава активной зоны ядерного реактора. Прототипный расплав образуется в результате реакции $2\text{Fe}_2\text{O}_3 + 3\text{Zr} = 3\text{ZrO}_2 + 4\text{Fe} + 2840 \text{ кДж/кг}$ в бетонной емкости объемом

$\sim 6 \cdot 10^{-2} \text{ м}^3$. В ходе эксперимента после инициирования реакции в химически активном составе (ХАС) массой 50 кг в полученный расплав с интервалом 5–10 с сбрасывали брикеты из того же ХАС массой 0,72 кг и плотностью 3,05 г/см³ каждый. С использованием термопарной и пирометрической методик по-

казано, что созданный расплав массой ~ 100 кг, имеющий температуру 2700–3200 К, обеспечивает тепловые потоки в стенки и ко дну бетонной емкости в пределах 100–150 кВт/м² на протяжении ~ 10 мин. Абляция стенок бетонной емкости составила в конце эксперимента 2,5–3 см.

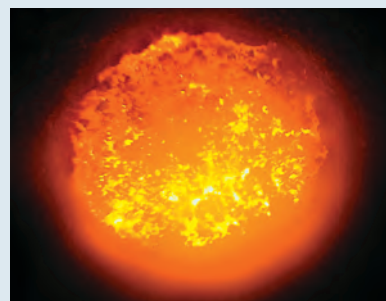


Установка по получению прототипного кориума:

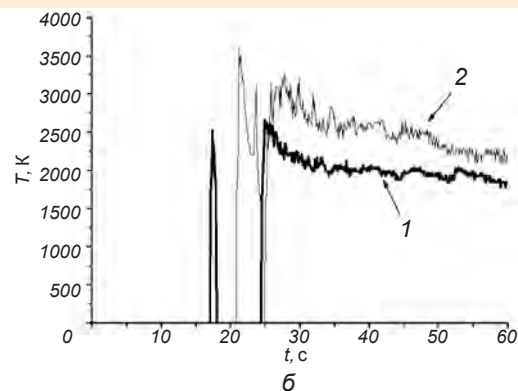
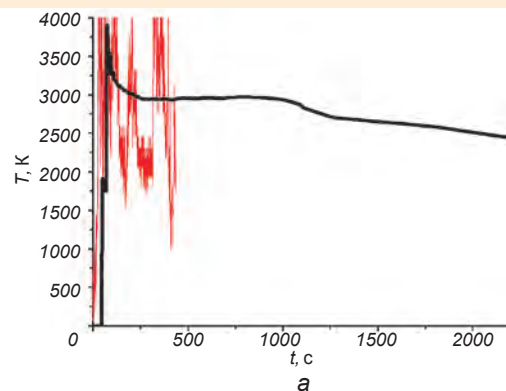
- 1 – бетонная емкость;
- 2 – металлический контейнер;
- 3 – газовые горелки (теплоизоляция кориума);
- 4 – желоб для сбрасывания брикетов;
- 5 – диск из алюминия (для установки термопар);
- 6 – воздушная полость (вывод измерений);
- 7 – силикатный песок (дополнительная изоляция)



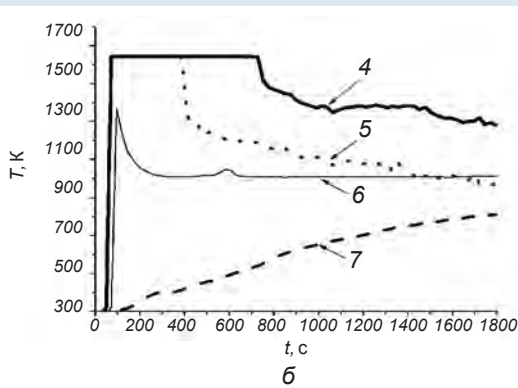
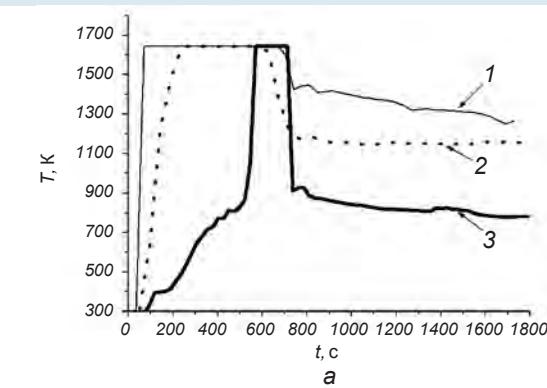
Модельная экспериментальная установка



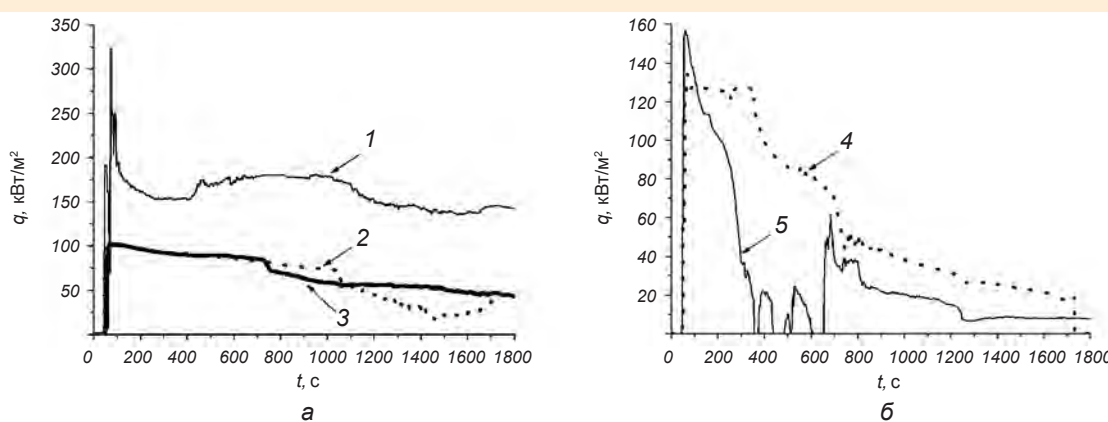
Прототипный кориум в расплавленном состоянии



Температура расплава, измеренная с помощью вольфрам-рениевых термопар (а) и пиromетрических датчиков (б): 1 – с молибденовым экраном; 2 – с tantalевым экраном



Температура в бетонной емкости: а – в стенке на высоте 40 мм от дна; б – в дне.
Расстояние от границы расплава, мм: 1–5; 2–15; 3–25; 4–10; 5–15; 6–20; 7–30



Расчет тепловых потоков: а – в дно; б – на стенки бетонной ёмкости при высоте 40 мм.
Расстояние от границы расплава, мм: 1–15; 2,3–20; 4–15; 5–55

Исследована квазизэнтропическая сжимаемость плазмы гелия идейтерия в области давлений 1500–2000 ГПа с использованием экспериментальных устройств сферической геометрии и рентгенографического комплекса, состоящего из трех бета-

tronov и многоканальной оптико-электронной системы регистрации рентгеновских изображений. В экспериментах измерены средние значения плотностей 4,3 и 3,8 $\text{г}/\text{см}^3$ вдейтерии и гелии при давлениях 2210 и 1580 ГПа соответственно. Внутренняя эн-

ергиядейтериевой плазмы при этом давлении составляет $\sim 1 \text{ МДж}/\text{см}^3$, что в ~ 100 раз превышает удельную энергию химических конденсированных ВВ. Анализ данных показывает, что степень ионизации гелия при достигнутых параметрах сжатия составляет $\sim 0,9$.

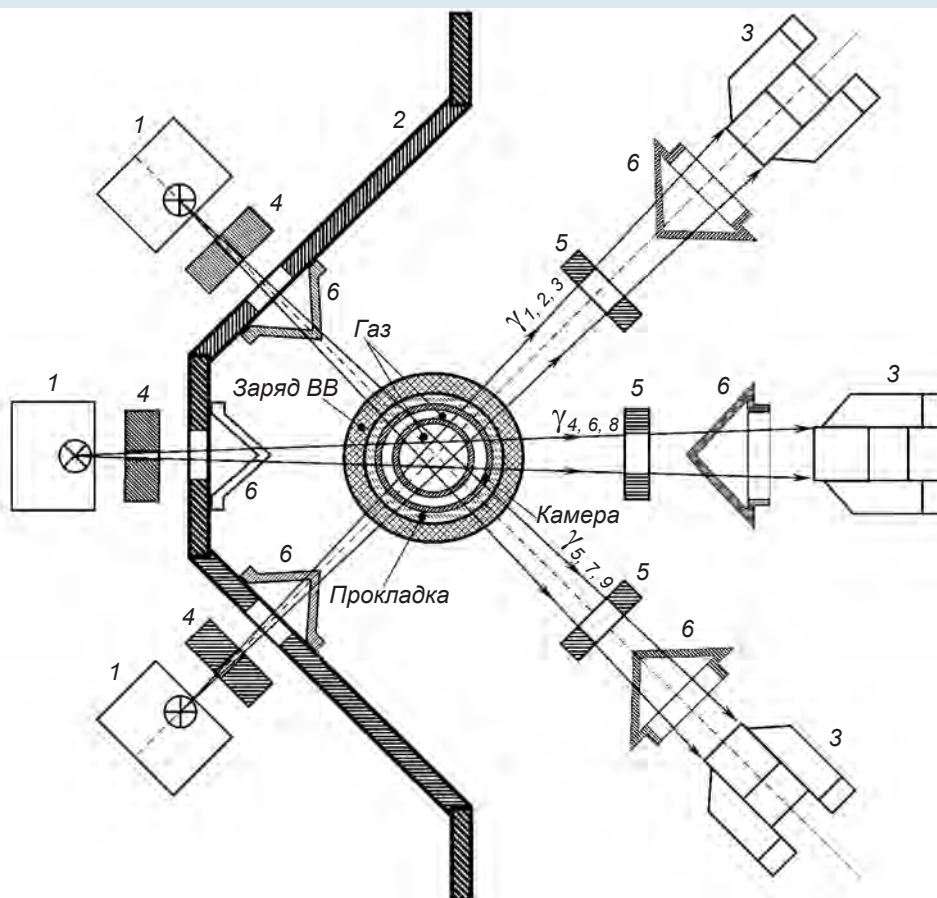
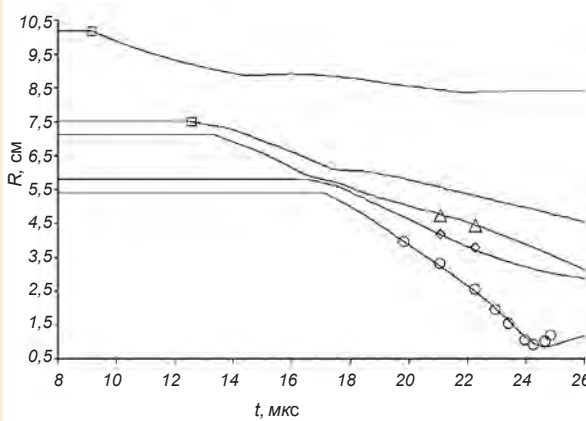
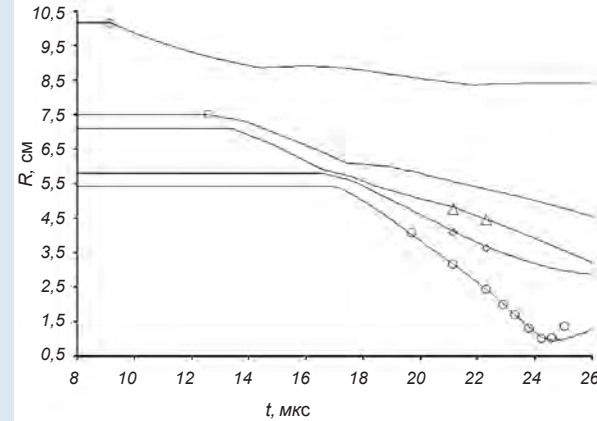


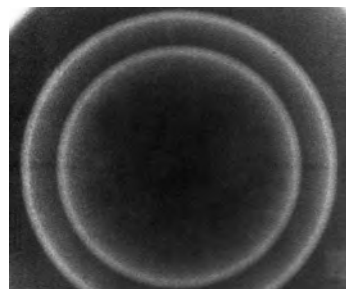
Схема эксперимента на рентгенографическом комплексе РГК-Б: 1 – бетатрон БИМ234.3000; 2 – защитное сооружение; 3 – оптико-электронный регистратор; 4, 5 – коллиматор; 6 – защитный конус



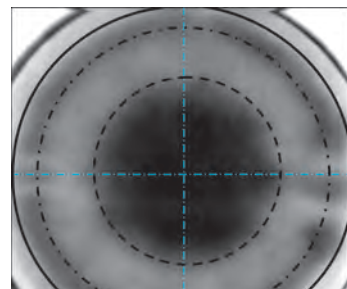
$R(t)$ диаграммы движения оболочек в эксперименте с дейтерием, времена отсчитываются от начала детонации заряда ВВ: \square – электроконтактные измерения движения УВ при газодинамическом исследовании устройства; результаты рентгенофотографирования: \triangle – внутренняя граница первого каскада; \diamond – внешняя граница второго каскада; \circ – внутренняя граница второго каскада



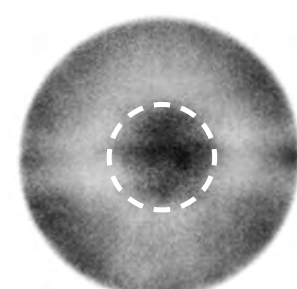
$R(t)$ диаграммы движения границ оболочек в эксперименте с газообразным гелием ($P_0 = 167$ атм; $T_0 = 27^\circ\text{C}$): \square – электроконтактные измерения движения УВ при газодинамическом исследовании устройства; результаты рентгенофотографирования: \triangle – внутренняя граница первого каскада; \diamond – внешняя граница второго каскада; \circ – внутренняя граница второго каскада



а

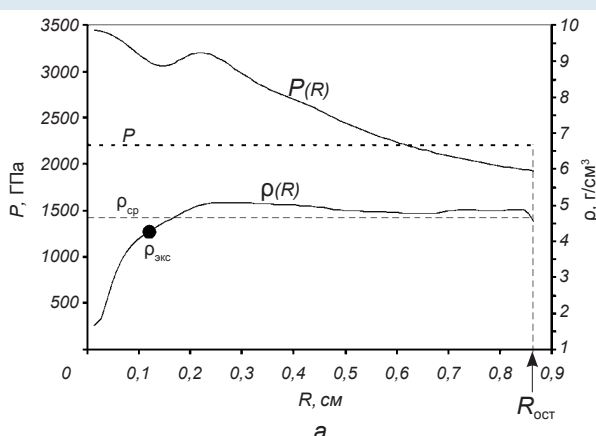


б

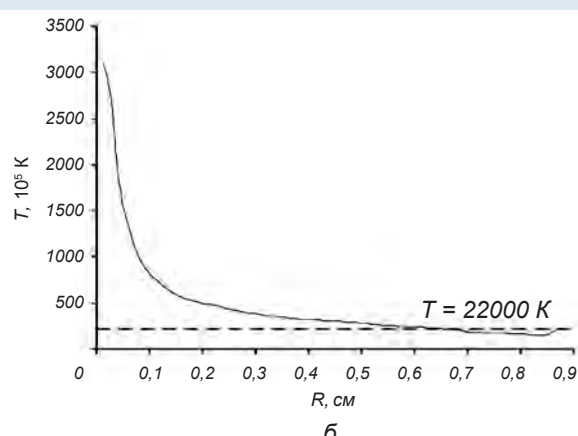


в

Рентгенограммы в эксперименте с дейтерием: а – устройство в исходном состоянии; б – $t = 21,08$ мкс; в – $t = 24,26$ мкс (момент максимального сжатия). Пунктиром показаны границы оболочек, полученные в результате обработки рентгенограмм

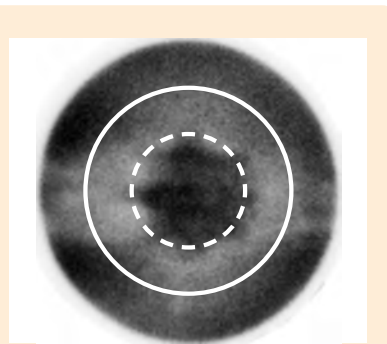


а



б

Квазизэнтропическая сжимаемость газообразного дейтерия. Распределение давления и плотности (а); температуры (б)

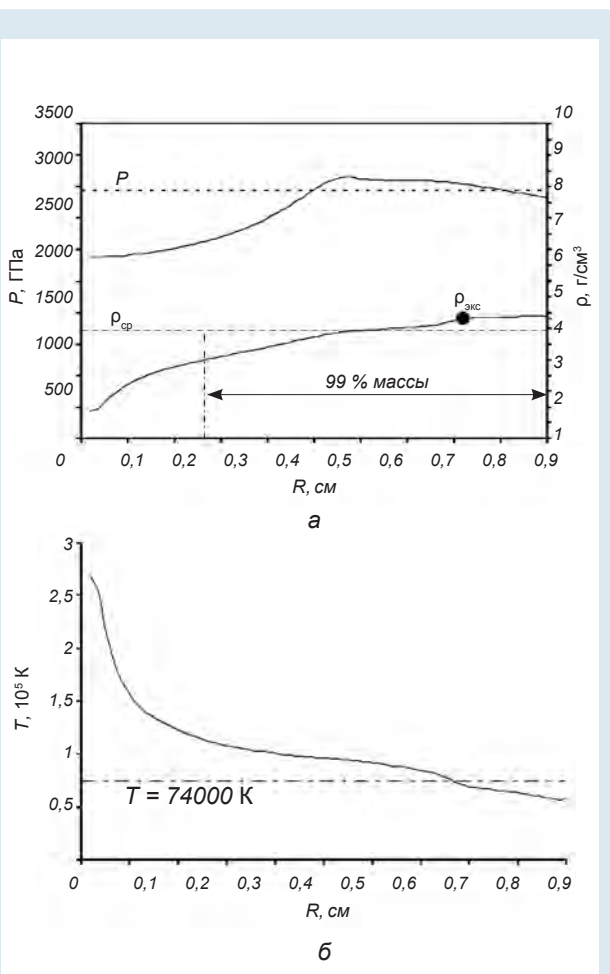


Рентгенограмма полости со сжатым гелием. Белым пунктиром и белой линией показаны результаты функциональной обработки рентгеновского изображения полости со сжатым гелием и радиуса волны сжатия в стальной оболочке на момент максимального сжатия газа

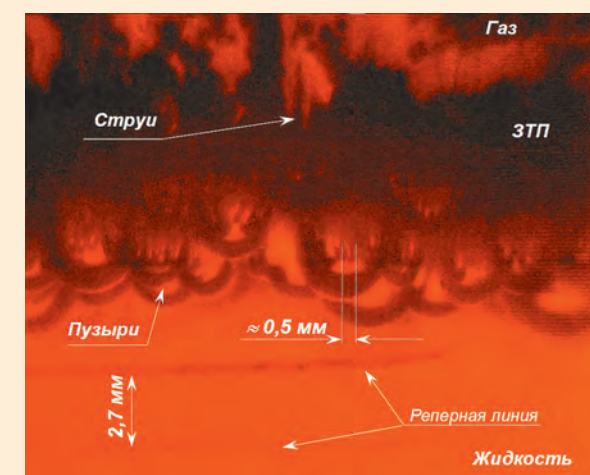
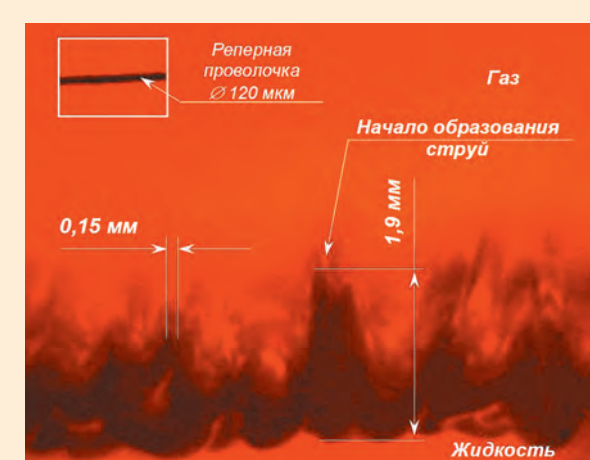
Гидродинамические неустойчивости Рэлея – Тейлора, Рихтмайера – Мешкова и вызванное ими турбулентное перемешивание веществ являются отрицательными факторами при работе импульсных устройств для получения высоких плотностей энергии. Для точного численного моделирования этих неустойчивостей важно иметь экспериментальные данные о времени перехода процесса развития возмущений в турбулентную стадию. При расчете процессов теплопередачи необходимо знать размеры фрагментов веществ в зоне турбулентного

перемешивания. Для решения этих задач в ИФВ разработана микроскопическая электронно-оптическая методика, позволяющая разрешать микроструктуру зоны перемешивания.

Проведены исследования фазовых превращений титана в ударных волнах. Для этого при ударно-волновом нагружении с помощью индикаторных жидкостей и манганинового датчика определены зависимости упругой продольной и объемной скоростей звука от давления. Рентгеноструктурный анализ показал, что измерения проведены



Квазизэнтропическая сжимаемость газообразного гелия. Распределение давления и плотности (а); температуры (б)



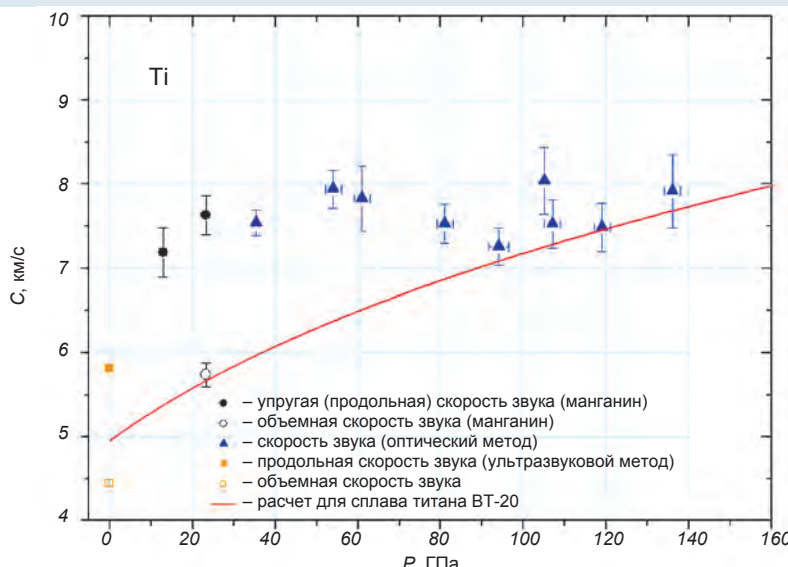
Микроструктура зоны турбулентного перемешивания на границе газ-жидкость:
а – переход процесса развития возмущений в турбулентную стадию; б – развитая зона турбулентного перемешивания (ЗТП)

в исходном титане, состоящем из одной α -фазы (периоды решетки: $a = 2,950 \text{ \AA}$, $c = 4,683 \text{ \AA}$). Фазовый анализ ударно-сжатого (постопытного) титана показал, что во всех исследованных образцах содержатся две фазы титана: $\alpha\text{-Ti}$ и $\omega\text{-Ti}$. При давлениях на ударной адиабате титана 20–40 ГПа и 55–95 ГПа впервые зарегистрированы два излома зависимости скоростей звука. Первый излом может быть связан с ($\alpha\text{-}\omega$) фазовым превращением титана. Второй излом также отвечает фазовому превращению и требует дополнительного исследования.

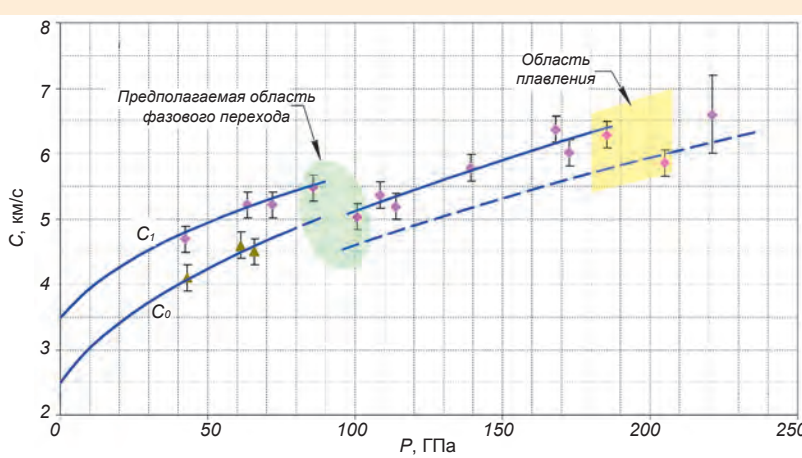
Для природного урана ($\rho = 18,91 \text{ г}/\text{см}^3$) с помощью лазерного интерферометра Фабри – Перо в области давлений до 2,2 Мбар определены зависимости продольной и объемной скорости звука от давления ударной волны. В области давлений 85–100 ГПа продольная и объемная скорости звука уменьшаются на $\approx 600 \text{ м}/\text{с}$. Это приводит к излому кривых $C_1(P)$ и $C_0(P)$, что, по-видимому, свидетельствует об $\alpha\text{-}\gamma$ фазовом переходе в уране. Результаты экспериментов в диапазоне давлений 170–220 ГПа свидетельствуют, что плавление урана на удар-

ной волне начинается в области давлений $P = 185\text{--}190 \text{ ГПа}$ и заканчивается в области, близкой к $P = 205 \text{ ГПа}$. По результатам экспериментов определены коэффициент Пуассона $\mu = 0,35\text{--}0,43$ и сдвиговая прочность $1,06\text{--}2,42 \text{ ГПа}$.

Проведены исследования анизотропии откольной прочности стали 12Х18Н10Т в нестационарной ударной волне интенсивностью $\sim 55 \text{ ГПа}$. Скорость деформации в разгрузочной части импульса составляла $\dot{\epsilon} \sim 2\cdot 10^6 \text{ 1}/\text{с}$. Направление ударно-волнового нагружения образцов либо совпадало с направлением технологической прокатки, либо было перпендикулярно ей. Измерение откольной прочности осуществлялось методом непрерывной регистрации профиля скорости свободной поверхности лазерным интерферометром Фабри – Перо. Часть образцов во время опытов разгружалась либо во фторопласт, либо в LiF и в дальнейшем использовалась для измерений в них поврежденности оптическим методом. Выполнено численное моделирование экспериментов. Результаты измерения лазерным интерферометром показали, что при совпадении направления нагружения и направления технологической прокатки средняя откольная прочность составила $\sigma = 3,60 \pm 0,20 \text{ ГПа}$, а когда они перпендикулярны – $\sigma = 2,95 \pm 0,24 \text{ ГПа}$. Анизотропия для данных условий проведения опытов достигает $\sim 20 \%$. Из измерений поврежденности постопытных образцов следует, что в образцах первого типа максимальная поврежденность более чем в 2 раза меньше максимальной поврежденности образцов второго типа, что косвенно также подтверждает наличие анизотропии в стали при субмегабарном уровне нагружения.



Зависимость скорости звука в титане от давления



Зависимость продольной C_1 и объемной C_0 скорости звука в природном уране от давления ударной волны